

Session MP60S-3

Mardi 15 mars 2016 de 9h00 à 9h30

Poster 4.5 à Poster 7.1



POSTER 4.5

Equilibre dynamo-Alfvén dans la zone inertielle du vent solaire

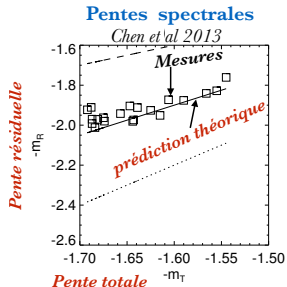
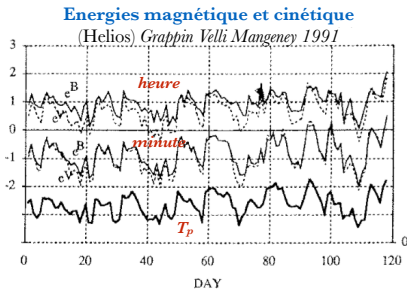
Roland GRAPPIN



4.5 Equilibre dynamo-Alfvén dans la zone inertielle du vent solaire

R. Grappin (LPP) A. Verdini W.-C. Müller

- Observations/simulations turbulence: **énergie magnétique > énergie cinétique**
- Mesure excès magnétique *Chen et al 2013* → **variation corrélée des pentes**: $m_T = f(m_R)$
- Théorie de l'équilibre Alfvén-dynamo: $E_k^R = (1/b_0)k^{1/2}(E_k^T)^{3/2}$
soit pour les pentes **résiduelle/totale**: $m_R = -1/2 + 3/2 m_T$



POSTER 4.6

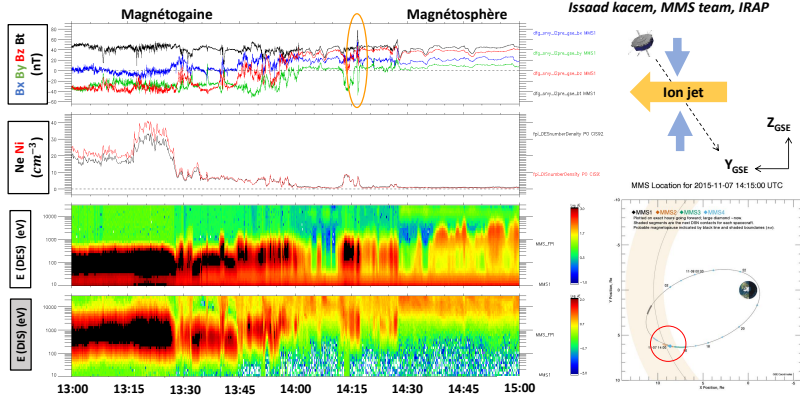
Current and plasma structures associated with FTEs
observed in the magnetosheath by MMS

Issaad KACEM



Structures de courant et de plasma associées à des événements à transfert de flux

Issaad kacem, MMS team, IRAP



POSTER 4.7

A non-Gaussian Universal Description of Solar Wind Magnetic Field Fluctuations

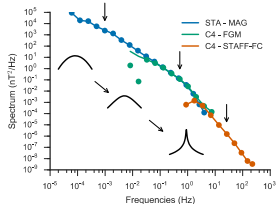
Sonny LION



4.7 Sonny Lion

A non-Gaussian Universal Description of Solar Wind Magnetic Field Fluctuations

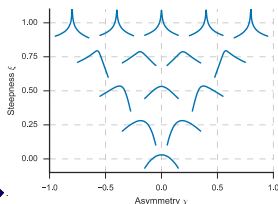
1) The solar wind turbulent cascade:



Gaussian distributions at low frequency
Intermittency → Heavy-tailed distributions at high frequency

2) The Normal-inverse Gaussian distribution:

$$p(x; \alpha, \beta, \mu, \delta) = \frac{\alpha \delta K_1(\alpha \sqrt{\delta^2 + (x - \mu)^2})}{\pi \sqrt{\delta^2 + (x - \mu)^2}} e^{\delta \gamma + \beta(x - \mu)}$$



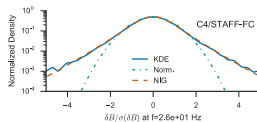
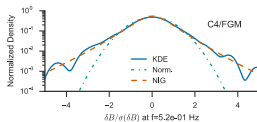
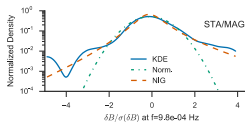
Steepness:

$$\xi = \frac{1}{\sqrt{1 + \delta \sqrt{\alpha^2 - \beta^2}}}$$

Asymmetry:

$$\chi = \frac{\beta}{\alpha} \xi$$

3) Universal Description of Solar Wind Magnetic Field Fluctuations

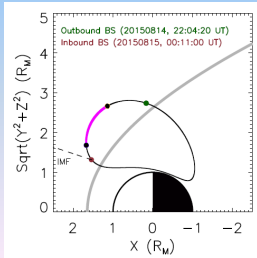
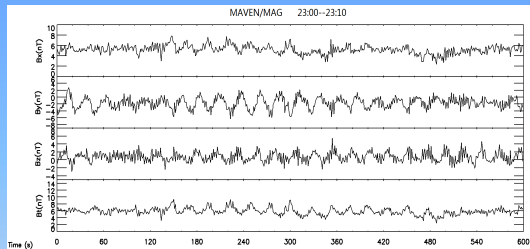


POSTER 4.8

ULF waves in the Martian foreshock: MAVEN observations

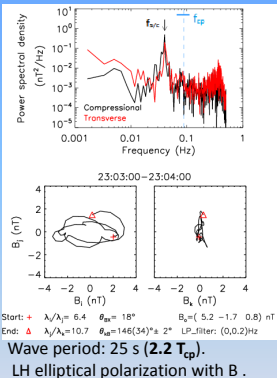
Christian MAZELLE





1 Hz MAG data
In the Ion foreshock
(shown by higher freq.
waves superimposed).

1. **First clear observations at Mars,**
 2. Enough foreshock space for ULF wave generation.
- Likely source: backstreaming ions reflected at the bow shock, clearly by pickup ion protons.



POSTER 4.9

Le chauffage turbulent dans le vent solaire: comment le modéliser?

Victor MONTAGUD



4.9 Chauffage turbulent dans le vent solaire

Victor Montagud Camps

On a besoin de chauffage dans le vent solaire (modèle fluide !)

a) Pour l'accélérer (chauffage de la couronne)

b) Pour le chauffer une fois accéléré

La dissipation via la cascade turbulente des fluctuations peut-elle le faire?

Deux exemples de modèles possibles de dissipation turbulente:

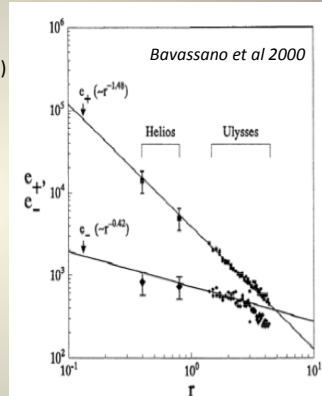
Sans expansion: $du^2/dt = -u^3/L$

Avec expansion: $du^2/dt = -u^3/L - (U^\circ/R) u^2$

On veut tester systématiquement ce type de modèle via des simulations directes *incluant* l'expansion anisotrope (« EBM »)

L = taille du tourbillon, u =vitesse du tourbillon

R = distance au soleil, U° = vitesse du vent



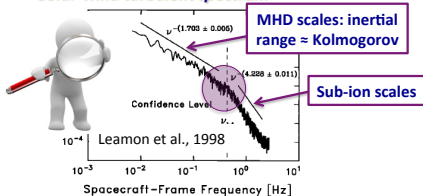
POSTER 4.10

Compressible coherent structures in slow solar wind
turbulence at ion scales

Denise PERRONE



Solar-wind turbulent spectrum

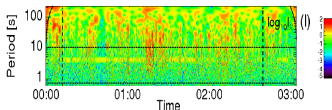


NATURE OF MAGNETIC FLUCTUATIONS?

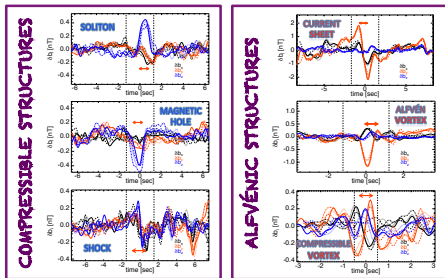
In a stream of *slow solar wind*, using *CLUSTER* data:

① Increase of *compressibility* around ion scales

② *Non-homogeneous* distribution of magnetic energy



③ Presence of *coherent structures* of different nature...



POSTER 4.11

Solar wind turbulence anisotropy, from large to small scales

Andrea VERDINI

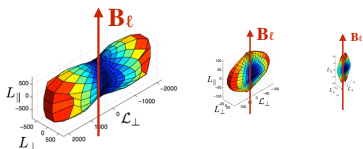


4.11 Solar wind turbulence anisotropy, from large to small scales

Verdini A., Grappin R., Alexandrova O.
Projet PLAS@PAR => Simulations + Mesures

Mesures Vent Solaire @ 1AU

(Chen et al. 2012 ApJ)



...

Filament
(Balance Critique)

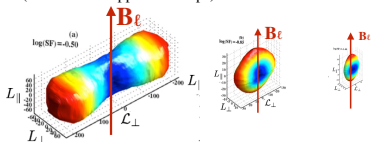


Ruban
(Balance Critique + Aligement Dynamique)



Simulations Expanding Box Model

(Verdini & Grappin 2015 ApJ)



POSTER 4.12

Turbulence in the solar wind: what controls the slope of the energy spectrum ?

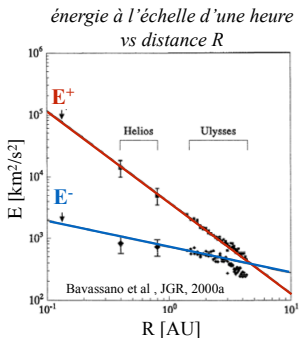
Andrea VERDINI



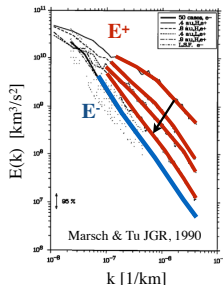
4.12 Turbulence in the solar wind: what controls the slope of the energy spectrum?

Verdini A., Grappin R.

A numerical investigation



*Spectres de $E^+(k)$ et $E^-(k)$
à plusieurs distances $0.4\text{AU} < R < 1\text{AU}$*



Il y a t-il un cascade quand $E^- \ll E^+$?

- turbulence homogène NON
- vent solaire OUI

POSTER 5.1

Periodic Pulses or Random Amplitudes in Coronal Loops as Signatures of Thermal Non-Equilibrium

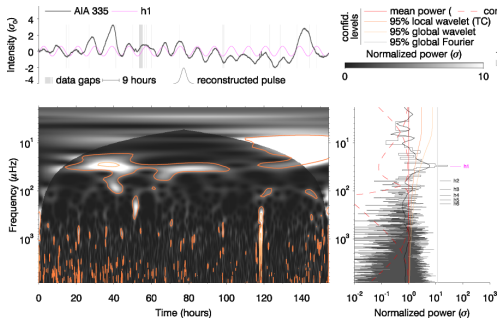
Frédéric AUCHÈRE



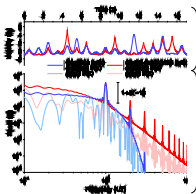
Thermal Non-Equilibrium Revealed by Periodic Pulses of Random Amplitudes



F. Auchère, C. Froment,
K. Bocchialini,
E. Buchlin & J. Solomon



What is a random pulse train anyway?



Expected Fourier spectra for Gaussian and double exponential pulses

$$\begin{aligned}
 & M \text{ pulses equally spaced by } T \\
 & f(t) = \sum_{m=0}^{M-1} a_m p(t - mT) \\
 & \quad \text{Random amplitudes} \quad \text{Individual pulse} \\
 & \quad (\text{variance } \sigma^2, \text{ mean } \mu) \\
 & \psi(\nu) = |P(\nu)|^2 \left\{ M\sigma^2 + \mu^2 \left(\frac{\sin(\pi\nu TM)}{\sin(\pi\nu T)} \right)^2 \right\} \\
 & \quad \text{Individual pulse power} \quad \times \text{ (Continuum + discrete harmonics)}
 \end{aligned}$$

POSTER 5.2

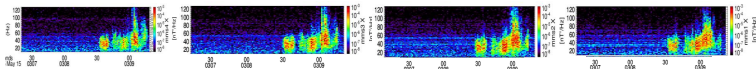
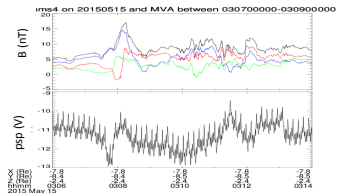
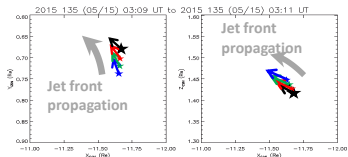
Multi-Spacecraft Analysis of Plasma Jet Events and Associated Whistler-Wave Emissions using MMS Data

Hugo BREUILLARD



H. Breuillard, O. Le Contel, A. Retino, A. Chasapis, T. Chust and the MMS team

- **Multi-SC ($\Delta d \sim 150$ km) analysis of the DF :**
 - Using MVA, DF propagates from the equator towards Earth and its front normal rotates over a spatial scale < 600 km (below the ion Larmor radius)
 - Normal rotates twice: « finger-like » structures ?
- **Associated whistler-waves analysis:**
 - Parallel whistlers observed behind DF with different properties (Poynting flux reversal)
 - Within < 5 s, whistlers dynamics evolve drastically : a new source of whistler waves appears, filling the gap between lower and higher spectral band
- **Comparison of the nature of the 2 DFs:**
 - Density dip observed ahead of first DF, contrary to second DF (~03:12 UT)
 - After crossing another front oblique whistlers are observed.



Jet front propagation

POSTER 5.3

The ELEVATE Catalogue: Understanding the coronal origins of solar energetic particles

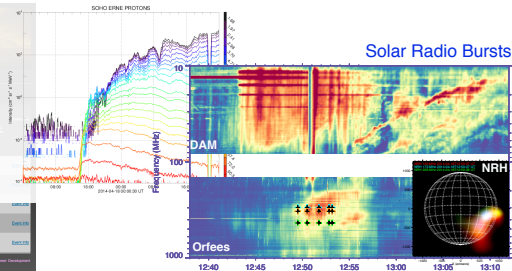
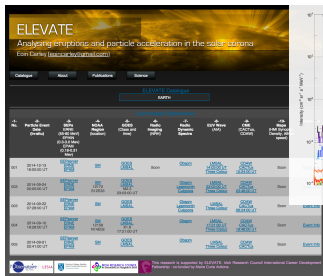
Eoin CARLEY



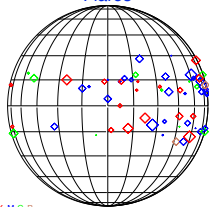
5.3: The ELEVATE Catalogue: Understanding the coronal origins of solar energetic particles

Eoin Carley

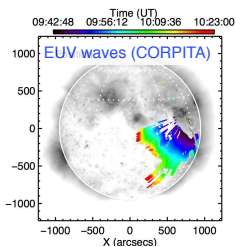
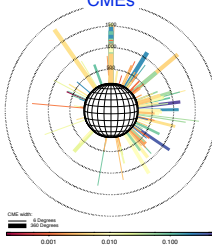
Trinity College Dublin and Paris Observatory



Flares



CMEs



POSTER 5.4

Recent Advances in Terrestrial Gamma ray Flashes and Their Effects in the Near-Earth Environment

Sébastien CÉLESTIN

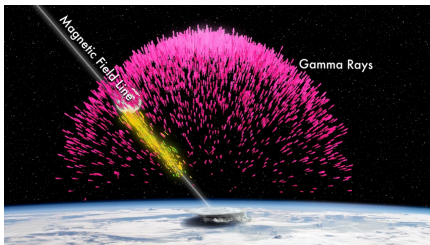


Recent Advances in Terrestrial Gamma ray Flashes and Their Effects in the Near-Earth Environment

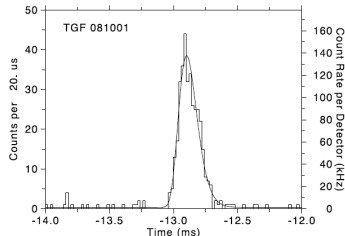
S. Celestin, LPC2E, Université d'Orléans, CNRS



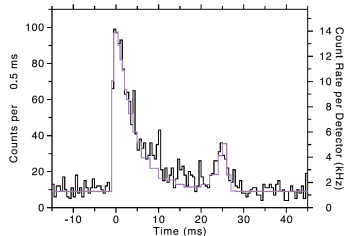
TARANIS. Crédit: CNES/D. Ducros.



Crédit: NASA/GSFC, J. Dwyer, FIT.



Courbe de lumière observée par Fermi-GBM.



Terrestrial Electron Beam et miroir magnétique.

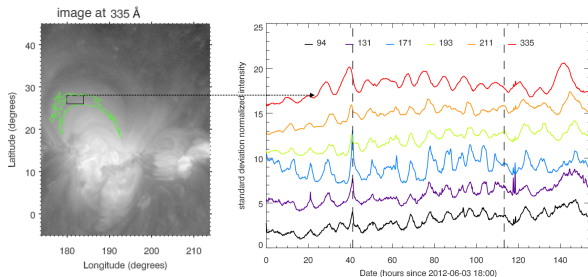
POSTER 5.5

Evidence for highly-stratified and quasi-steady heating
of solar coronal loops

Clara FROMENT



Pulsations d'intensité dans les boucles coronales solaires : signature d'un chauffage très stratifié et quasi-constant



Un évènement typique étudié avec SDO/AIA (*Froment et al, 2015*)

→ pulsations d'intensité avec une période de 9.0 h

Pulsations de la **structure thermique** (T_e, n_e) de ces boucles : **Thermal non-equilibrium**
→ **Signature observationnelle d'un chauffage quasi-continu, localisé à basse altitude**

Qu'est ce qui distingue ces boucles ?
Pourquoi ces cycles ne se produisent-ils pas partout ?

Etude de la **topologie magnétique** (extrapolations) et **simulations 1D hydrodynamiques**
→ **comprendre les conditions d'apparition de ces pulsations** (*Froment et al, 2016, in prep*)

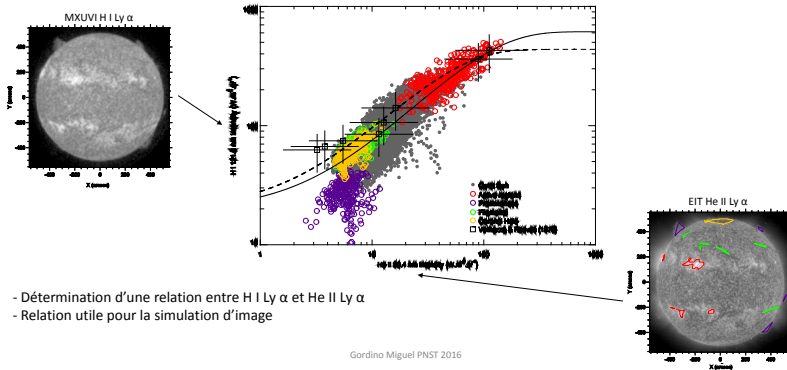
POSTER 5.6

Empirical relations between the Lyman line intensities
of H I and He II

Miguel GORDINO



Préparation des observations pour Solar Orbiter : FSI et METIS



- Détermination d'une relation entre H I Ly α et He II Ly α
- Relation utile pour la simulation d'image

Gordino Miguel PNST 2016

POSTER 5.7

Lifecycle of a large-scale polar pseudostreamer

Chloé GUENNOU



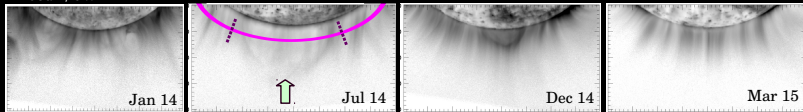


Lifecycle of a large polar coronal Pseudostreamer/cavity system

***** Observatoire royal de Belgique

C. Guennou, L. A. Rachmeler, D. Seaton, F. Auchère

Proba2/SWAP



DEM

→ T_e, n_e

Tomography

→ x, y, z

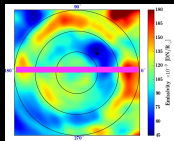


Coupling Tomography/DEM

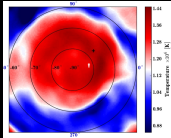
✓ x, y, z / T_e, n_e

Full 3D diagnostic !

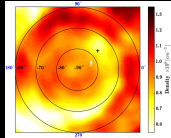
SWAP emissivity



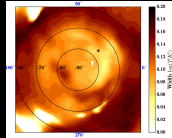
AIA temperature



AIA density



Thermal width



Cavity and Pseudo-streamer thermal properties evolution over 15 months of observations

POSTER 5.8

The fine structure of the magnetosheath boundary layer during magnetic reconnection at the Earth's magnetopause

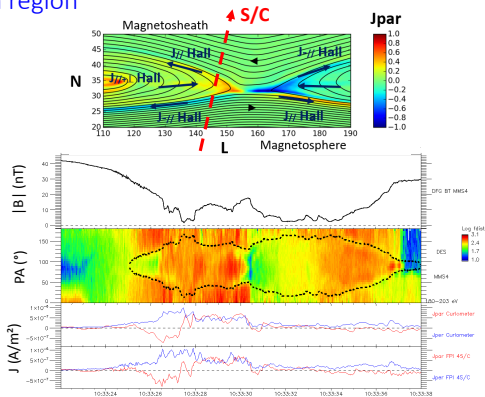
Benoît LAVRAUD



Hall currents and associated electron scattering and bouncing near the magnetic diffusion region

B. Lavraud et al.

- Observation of **Hall current electron dynamics** near the diffusion region
- Simultaneous **inflowing and outflowing**, bouncing populations
- Low energy electron **scattering by curved field lines**



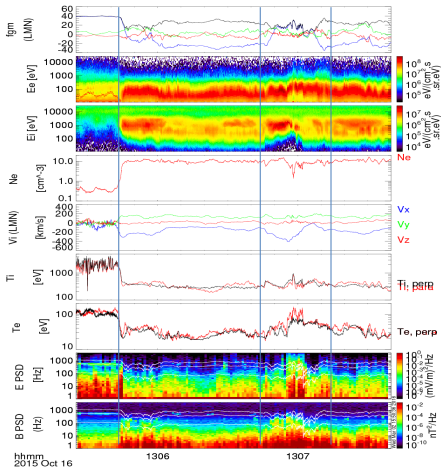


5.9 Etude de l'activité électromagnétique détectée par MMS au voisinage de la magnétopause et de son rôle possible dans le chauffage et l'accélération des électrons



O. Le Contel, A. Retinò, H. Breuillard, M. Berthomier,
L. Mirioni, F. Sahraoui, T. Chust, A. Chasapis, N. Aunai,
B. Lavraud, C. Jacquey et l'équipe MMS

- Traversées complète et partielle de la magnétopause
- Détection de jets de plasma
- Chauffage des électrons
- Activité électromagnétique intense



Colloque du PNST, 14-16 Mars, Hendaye, 2016

POSTER 5.10

Particle Acceleration and Shock Structures in Shock-Shock Interaction

Christian MAZELLE



Particle Acceleration and Shock Structures in Shock-Shock Interaction

M. Nakanotani^{1,2,3}, C. Mazelle^{1,2}, S. Matsukiyo³ & T. Hada³

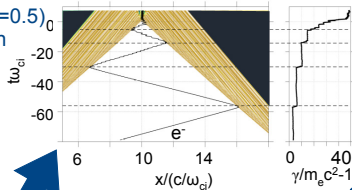
(1) IRAP, CNRS, Toulouse, France (2) IRAP, University of Toulouse, Toulouse, France (3) Kyushu University, Fukuoka, Japan

> 1D full PIC simulation

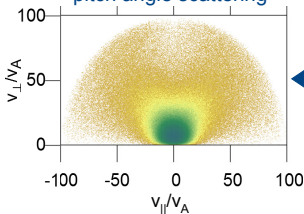
($M_A=13$, $\theta_{Bn}=60^\circ$, $\beta_{i,e}=0.5$)

> efficient e^- acceleration
before collision

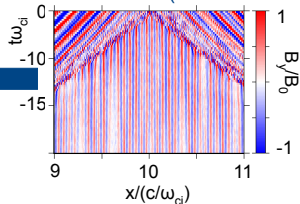
e^- reflection and acceleration



pitch angle scattering



wave excitation (firehose insta.)



POSTER 5.11

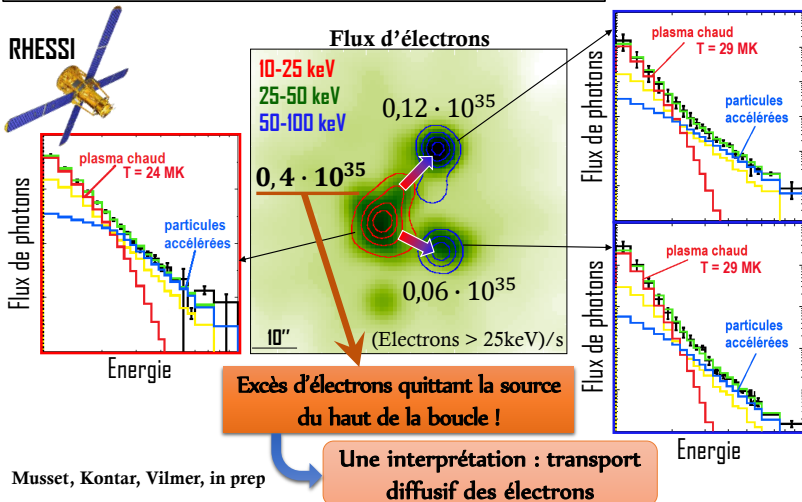
Diffusive transport of energetic electrons in the 2004,
May 21 solar flare

Sophie MUSSET



Diffusive transport of energetic electrons in the 2004, May 21 solar flare

Sophie Musset
LESIA
Observatoire de Paris

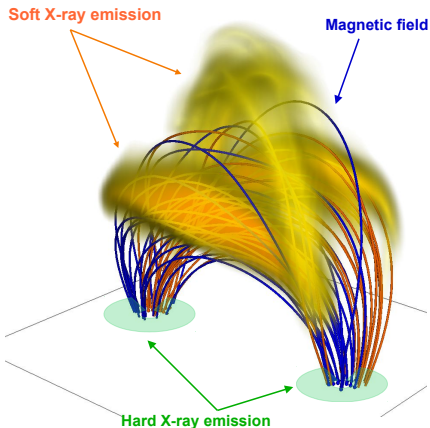


POSTER 5.12

X-ray emission in simulations of flaring coronal loops

Rui PINTO





Solar flares (kink instability)

↓
Plasma heating,
particle acceleration

↓
Synthetic X-ray emission

- ✓ **Magnetic twist \neq emission threads**
- ✓ **Broad DEM** (multi-temperature plasma)
- ✓ **Distributed heating and acceleration**, but volume-filling SXR, localised HXR
- **Neupert effect** ($\text{HXR} \propto d/dt \text{ SXR}$)

POSTER 5.14

Chauffage impulsif des boucles coronales et pulsations en intensité de longues périodes: approximation analytique

Jacques SOLOMON



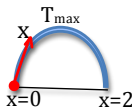
PNST mars 2016-Poster 5.14

Chauffage impulsif des boucles coronales et problème des pulsations en intensité de longues périodes: approximation analytique

J. Solomon, C. Froment, F. Auchère, K. Bocchialini, E. Buchlin

Institut d'Astrophysique Spatiale, CNRS-Univ. Paris-Sud, Université Paris-Saclay, 91405 Orsay

- Données SoHO/EIT et SDO/AIA
- Simulations numériques hydro 1D



$$\frac{\partial \mathbf{T}(\mathbf{x}, t)}{\partial t} \sim \frac{\partial}{\partial \mathbf{x}} \left(\mathbf{T}^{\frac{5}{2}} \frac{\partial \mathbf{T}}{\partial \mathbf{x}} \right) - \Lambda(\mathbf{T}) + \mathbf{Q}(\mathbf{x}, t)$$

T Température; $\mathbf{x}=\mathbf{s}/\mathbf{L}$; **Flux de chaleur**;
 Λ Pertes par Rayonnement; **Q** Chauffage

- Solutions analytiques par perturbation d'une situation stationnaire avec des conditions aux limites données
- Comparaisons aux simulations numériques et rôle des paramètres physiques

POSTER 5.15

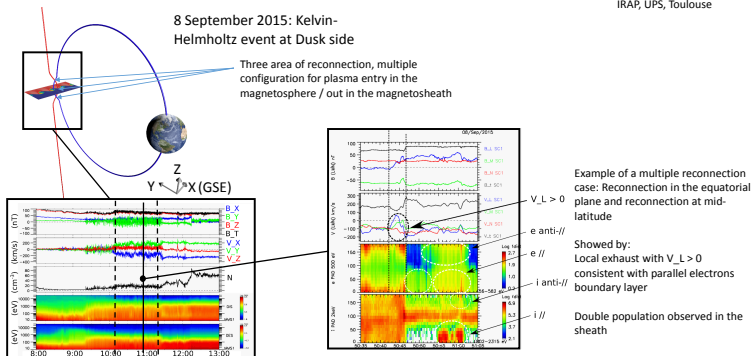
Small-scale topological changes associated with magnetic reconnection during Kelvin-Helmholtz instability at the Earth's Magnetopause

Yoann VERNISSE



Small-scale topological changes associated with magnetic reconnection during Kelvin-Helmholtz instability at the Earth's Magnetopause: Observation of multiple population from local and mid-latitude reconnections.

Vernisse et al.
IRAP, UPS, Toulouse



One hour of high resolution data recorded by the MMS spacecrafts

POSTER 6.1

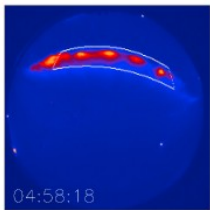
Instabilité électrostatique dans une couche de courant-
Interaction avec les électrons piégés

Gabriel FRUIT



INSTABILITÉ ÉLECTROSTATIQUE DANS UNE COUCHE DE COURANT RÔLE DES ÉLECTRONS PIÉGÉS

G. Fruit, Ph. Louarn, A. Tur – IRAP

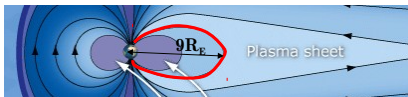


Kalmoni et al. 2015 : arc auroral (02/10/2011) observé par les caméras plein-ciel au dessus du Canada

Structures en forme « perles » de 30 km de large

Temps de croissance instabilité ~ 1 min

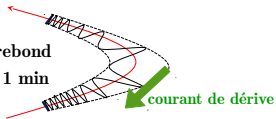
Source des particules : région 9-12 R_E dans la queue magnétique



Origine de l'instabilité produisant ces précipitations de particules ?

Une possibilité : Instabilité de dérive électrostatique (gradient de densité) en résonance avec le mouvement de rebond des électrons piégés forts taux de croissance

Période rebond
 $\sim \text{qq s à 1 min}$



On obtient un $\gamma \sim 0,1 \text{ s}^{-1}$ (1 min growth time) avec $\lambda \sim \rho_{Li} \sim 600 \text{ km}$, si l'échelle d'inhomogénéité de la densité de l'ordre du R_E .

POSTER 6.2

Les flares confinés et éruptifs sont-ils si différents ?

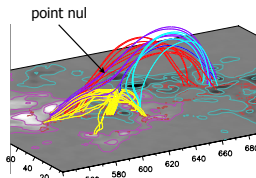
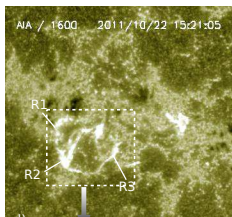
Sophie MASSON



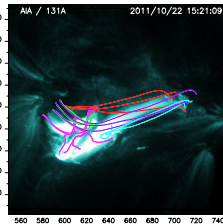
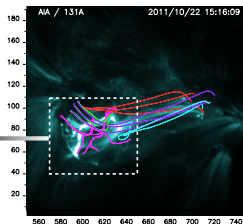
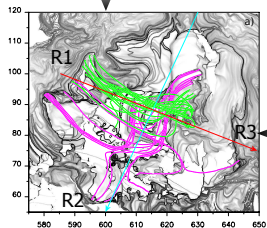
Les flares confinés et éruptifs sont-ils si différents ?

S. Masson, E. Pariat, G. Valori, N. Deng, C. Liu, H. Wang & H. Reid

Poster 6.2



Tube de flux torsadé présent
pour les flares confinés &
éruptifs



Tube de flux torsadé et son tube
de flux hyperbolique

Éléments topologiques associés aux boucles
post-éruptives

POSTER 6.3

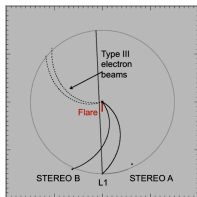
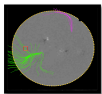
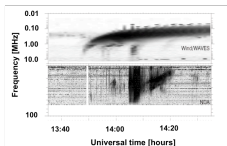
CME-related particle acceleration regions during a simple eruptive event near solar minimum

Carolina SALAS MATAMORAS



Régions d'accélération de particules pendant un simple événement éruptif près du minimum solaire

(C. Salas-Matamoros, K-L. Klein et A. Rouillard; LESIA, IRAP)



Trois zones d'accélération des particules liées à l'événement du 26 Avril 2008

- I. Lieu éloigné de la région active** → interaction latérale du flanc de la CME avec la couronne (suivie par une onde EUV) → Reconnexion magnétique ou acc. betatron
- II. Onde de choc coronale quasi-perp (flanc de la CME, radio type II)** → pas de connexion magnétique avec des satellites
- III. Choc frontal de la CME** → accélération tardive des SEPs (STB, SoHO) lorsque le choc intercepte la spirale de Parker connectée avec le satellite

Il est trompeur d'interpréter les mesures multi-instrument des SEPs en termes d'une seule région d'accélération des particules dans la couronne

POSTER 6.4

Prominence plasma and magnetic field structure - A coordinated observation with IRIS, Hinode and THEMIS

Brigitte SCHMIEDER



Prominence plasma and magnetic field structure - A coordinated observation with IRIS, Hinode and THEMIS

P. Levens, 1 N. Labrosse, 1 B. Schmieder 2 , A. López Ariste 3

University of Glasgow (Scotland)
LESIA, Observatoire de Paris
IRAP, Toulouse

Tornado!



POSTER 7.1

Planetary SpaceWeather Services for the Europlanet 2020 Research Infrastructure

Nicolas ANDRE





Planetary Space Weather Services for the Europlanet 2020 Research Infrastructure

N. André (IRAP), Coordinator

The overall objectives of PSWS will be to **review, test, improve and adapt methods and tools** available within the partner institutes in order to **make prototype planetary event and space weather services operational** in Europe at the end of the programme.